

(Research Article)

Analyzing the influence of acoustic hologram manufacturing accuracy and sound transducer excitation frequency on the sound pressure profile

B. Ghavami Namin, Y.Hojjat*

Department of Mechanical Engineering, Tarbiat Modares University

Revised: 2024/09/08, Accepted: 2025/01/28

Abstract

In this study, two influential parameters in acoustic holography using 3D-printed holograms are examined: errors arising from fabrication, which depend on the precision of the 3D printer used, and errors in the excitation frequency of the high-frequency transducer, which depend on the accuracy of the power generator employed. A mathematical model was first introduced to describe each of these errors. Subsequently, using these models, the impact of these errors on the quality of the acoustic pressure profile on the target plane, as a measure of process performance, was analyzed for different operating frequencies. The results indicate that the impact of fabrication errors, given the precision of current printers, is negligible approximately 0.02%. In contrast, variations in error due to the transducer's applied frequency reach approximately 30%. Additionally, it was observed that the sensitivity of the phenomenon to both errors increases at higher frequencies. An experimental investigation of the effect of frequency on the quality of the pressure profile was also conducted, confirming the analytical results.

Keywords: Acoustic holography, 3D Printing, Amplitude and phase modulation, Transducer.

pp. 50-59 (In Persian)

* Corresponding Author Email: yhojjat@modares.ac.ir

تحلیل تأثیر دقت ساخت هولوگرام صوتی و بسامد تحریک تراگذار صوتی بر بنیمرخ فشار صوتی

بهزاد قوامی نمین، یوسف حجت*

دانشکده مهندسی مکانیک، دانشگاه تربیت مدرس
دریافت: ۱۴۰۳/۰۶/۱۸، پذیرش: ۱۴۰۳/۱۱/۰۹

چکیده

در این مطالعه، دو مورد از شبه‌سنج‌های اثرگذار در هولوگرافی صوتی به کمک هولوگرام‌های چاپ سه-بعدی شده مورد بررسی قرار می‌گیرند که عبارت‌اند از خطاهای ناشی از ساخت که به دقت چاپگر سه-بعدی مورد استفاده بستگی دارد و خطای موجود در بسامد تحریک تراگذار بسامد بالا که در دقت مولد توان مورد استفاده وابسته است. به منظور بررسی هر کدام از این خطاها، ابتدا الگوی برای توصیف ریاضی این خطاها معرفی گردید. در ادامه با استفاده از این الگوها، تأثیر این خطاها بر کیفیت بنیمرخ فشار صوتی در صفحه هدف به عنوان معیاری از عملکرد فرآیند و به ازای بسامدهای کاری مختلف مورد بررسی قرار گرفت. بر اساس نتایج بدست آمده، تأثیر خطای ساخت با توجه به دقت چاپگرهای موجود ناچیز بوده و در حدود ۰/۰۲ درصد است. در مقابل، محدوده تغییرات خطای ناشی از بسامد اعمالی به تراگذار در حدود ۳۰ درصد است. همچنین مشاهده شد حساسیت پدیده به هر دو خطا در بسامدهای بالا بیش تر است. بررسی تجربی اثر تأثیر بسامد بر کیفیت بنیمرخ فشار نیز انجام گرفت که نتایج تحلیلی را تأیید می‌نمود.

کلیدواژه‌ها: هولوگرام صوتی، چاپ سه-بعدی، مدولاسیون دامنه و فاز، تراگذار.

۱. مقدمه

امواج صوتی از جمله پدیده‌هایی هستند که امروزه در زمینه‌های مختلف از قبیل صنعت، پزشکی و غیره کاربرد بسیار یافته‌اند. تمرکز و هدایت دقیق این امواج در کاربردهای مذکور از اهمیت بسیاری برخوردار است. لذا طراحی و ایجاد یک بنیمرخ پیوسته و یکنواخت دلخواه از میدان‌های صوتی در پژوهش‌های اخیر مورد توجه قرار گرفته است [۱].

با توجه به ماهیت موجی صوت و مشابهت آن با امواج الکترومغناطیسی به‌ویژه نور باعث شده تناظر بسیاری بین متغیرهای این دو نوع موج دریافته شود. از جمله‌ی آن‌ها قابلیت ذخیره بنیمرخ‌های دامنه و اختلاف فاز در نقشه‌هایی موسوم به هولوگرام است.

استفاده از مفهوم هولوگرام که در نور برای بازسازی سه-بعدی تصاویر شناخته شده است، اخیراً در امواج صوتی نیز به‌منظور ایجاد تمرکز و بازسازی دلخواه موج مطرح شده است.

به این ترتیب بسیاری از محدودیت‌هایی که به علت استفاده از روش‌هایی نظیر آرایه فازی [۲] و سامانه‌های موج سطحی به وجود می‌آمد تا حدودی برطرف گردید. ذخیره‌سازی فضایی پروفایل فاز و یا دامنه جبهه موج دلخواه اساس تکنیک هولوگرافی است. به گونه‌ای که امکان بازآفرینی مجدد جبهه موج مورد نظر از طریق پدیده تداخل امواج در هنگام قرار دادن هولوگرام در مجاورت منبع موج مناسب و هم‌دوس فراهم باشد. در کاربردهای نوری از رایانه برای ایجاد هولوگرام استفاده می‌شود و دیگر نیازی به عکس برداری از صحنه فیزیکی نیست.

سامانه‌های هولوگرافیکی صوتی به دو دسته سامانه‌های فعال و سامانه‌های غیرفعال تقسیم‌بندی می‌شوند. در سامانه‌های فعال مدولاسیون فاز اعمالی به تراگذارها به عنوان صفحه هولوگرافیک توصیف می‌شود به گونه‌ای که زمانی که یک علامت مرجع به آن اعمال می‌شود، میدان صوتی را استخراج

* نویسنده پاسخگو: yhojjat@modares.ac.ir

نیمرخ فشار به دست آمده توسط هولوگرام صوتی پیوسته، ثابت و غیرقابل تغییر است. این امر قابلیت ایجاد تغییر در نیمرخ فشار را از بین می برد. یکی از روش های از بین بردن این مشکل استفاده از هولوگرام های چند بسامدی است به گونه ای که در هر بسامد تحریک در صفحه تصویر نیمرخ فشار متفاوتی ایجاد شود. این روش توسط براون و همکاران [۱۰ و ۱۱] معرفی گردیده است.

مشابه این روش در هولوگرافی نوری پر کاربرد است. در پژوهشی که توسط کاکس و همکاران [۱۳] انجام گرفته است قابلیت ها و محدودیت های ترکیب هولوگرام پیوسته با آرایه فازی به منظور افزایش پویایی هولوگرام مورد بررسی قرار گرفته است. در این روش پیشنهادی می توان با اعمال گرادیان فاز به آرایه فازی، خروجی موج صفحه ای را می توان منحرف نمود. شبه سنج های دخیل در چاپ سه بعدی از قبیل خواص صوتی مواد مورد استفاده و دقت دستگاه و هندسه هولوگرام خود می تواند در کیفیت نیمرخ فشار صوتی مؤثر باشد.

فری و همکاران [۱۴ و ۱۵] در پژوهشی چگونگی انتخاب بهترین پلیمرها را برای چاپ سه بعدی هولوگرام های صوتی، به طور خاص برای اصلاح عدم تمرکز امواج صوتی در سامانه متمرکز سازی امواج صوتی در جمجمه، مورد بررسی قرار دادند. یکی دیگر از مواردی که می تواند در ساخت هولوگرام مؤثر باشد تأثیر خطاهای ناشی از خود چاپگر در چاپ هولوگرام است که در پژوهش حاضر به آن پرداخته می شود و تأثیر این خطا در بسامدهای مختلف طراحی برای هولوگرام بررسی می شود. یکی دیگر از موارد مؤثر در تصویر صوتی در صفحه هدف، خطای احتمالی در بسامد تحریک تراگذار است که توسط منبع تغذیه با تقویت کننده توان اعمال می شود. در این پژوهش نیز تأثیر این خطا مورد بررسی قرار خواهد گرفت.

۲. مواد و روش

الگوسازی تحلیلی و بررسی اثر خطاهای به وجود آمده در ساخت هولوگرام صوتی چاپ سه بعدی شده و خطای بسامد تحریک تراگذار ناشی از منبع تغذیه بر کیفیت نیمرخ فشار صوتی در صفحه تصویر مدنظر است. با بررسی این خطاها در بسامدهای کاری مختلف می توان به برآوردی برای محدوده قابل قبول برای این خطاها در بسامدهای مختلف متناسب با کاربرد مدنظر دست یافت.

می کند [۳ و ۴]. از جمله مزایای این دستگاه ها قابلیت ویرایش پویای جبهه موج و انعطاف پذیری بالا است. با این وجود به منظور افزایش کیفیت جبهه موج خروجی و نیازمند تعداد بالایی از المان های تراگذار است که هر کدام به صورت جداگانه قبل آدرس دهی باشند.

این امر موجب پیچیده شدن مدار شیفت فاز و ادوات الکترونیکی، برای تحریک مستقل و سنکرون کردن تراگذارها می شود، برای کاهش تعداد المان های فعال از روش های مختلفی مانند استفاده از هولوگرام های صوتی پیوسته است که به آن ها سامانه های هولوگرافیکی غیرفعال نیز گفته می شود و به دودسته سامانه های چاپ سه بعدی و سامانه های ابر ماده [۵ و ۶] تقسیم بندی می شوند.

هر دو روش کنترل فاز کامل ۰ تا ۳۶۰ درجه را فراهم می آورد. این دستگاه ها با یک منبع صوت ویرایش جبهه موج را فراهم می آورند. از جمله معایب روش هولوگرافی غیرفعال برخلاف روش فعال نداشتن قابلیت تغییر تصویر و عدم پویایی و انعطاف پذیری در تغییر تصویر است [۷ و ۸].

هولوگرام صوتی پیوسته چاپ سه بعدی شده که اولین بار توسط ملده و همکاران [۹] معرفی شده است قابلیت بازسازی جبهه موج را با پراش محدود در میدان های فشار و در نتیجه ایجاد ستون های دلخواه فراصوت را دارا است. از نمونه سازی سریع برای ساخت هولوگرام استفاده گردیده است.

در پروسه بازسازی نیمرخ میدان یک موج صفحه ای گذرا از هولوگرام عبور می کند و با توزیع فاز مورد نظر ظاهر می شود و به منظور ایجاد نیمرخ دو بعدی مورد نظر در صفحه مورد نظر دچار شکست می شود و در نهایت به سمت جلو مسیر خود را در پیش می گیرد. به علت اینکه هولوگرام توسط چاپ سه بعدی ساخته شده است حاصل ضرب علامت در پهنای باند آن فقط توسط سائز قابل ساخت توسط چاپگر و تفکیک پذیری چاپگر محدود می شود.

به منظور دستیابی به تصویر نیمرخ فشار با پیوستگی و یکنواختی مناسب شبه سنج های طراحی بسیاری دخیل هستند که توسط برخی از پژوهشگران مورد بررسی قرار گرفته است یکی از این بررسی ها توسط بختیاری نژاد و همکاران [۱۰] انجام گرفته است که در آن اثر بسامد کاری و قطر فرستنده ای که در تماس با هولوگرام و به تبع آن ابعاد هولوگرام مورد بررسی قرار گرفته است.

که در آن $H(k_x, k_y, z)$ تابع انتشار است که رابطه آن به این شکل است:

$$H(k_x, k_y, z) = e^{jk_z z} = e^{jz\sqrt{k^2 - k_x^2 - k_y^2}} \quad (4)$$

به این ترتیب می توان توزیع فشار را در هر صفحه دلخواه Z با استفاده از تبدیل فوریه معکوس دو-بعدی به دست می آید.

$$p(x, y, z) = \frac{1}{4\pi^2} \int_{-\infty}^{+\infty} \int_{-\infty}^{+\infty} P(k_x, k_y, z) e^{j(xk_x + yk_y)} dk_x dk_y \quad (5)$$

به همین صورت می توان از طیف زاویه بازگشتی برای انتشار میدان فشار از صفحه هدف به سمت عقب^۲ در صفحه $Z=0$ که متناظر با صفحه فرستنده است نیز استفاده کرد [۱۳].

$$P(k_x, k_y, 0) = P(k_x, k_y, z) H(k_x, k_y, -z) \quad (6)$$

که در آن $H(k_x, k_y, -z)$ تابع انتشار به عقب است که به این صورت نوشته می شود:

$$H(k_x, k_y, -z) = e^{-jk_z z} = e^{-jz\sqrt{k^2 - k_x^2 - k_y^2}} \quad (7)$$

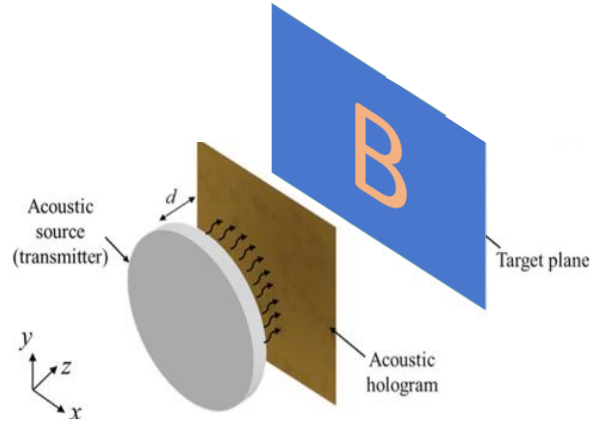
تئوری طیف زاویه ای^۳ معرفی شده در این بخش برای هولوگرافی صوتی میدان نزدیک روشی است که برای شناسایی منبع صوتی و به صورت ویژه برای یک مسئله معکوس یا به عبارتی بازگشت به عقب فشار صوتی از یک صفحه هدف به یک صفحه نزدیک به منبع صوتی است.

نقشه فازی که در هولوگرام ذخیره می شود می توان به صورت یک توپوگرافی سطح در آورده شود که برای ساخت هولوگرام پیوسته قابل استفاده است. برای این کار المان هولوگرام صوتی یک ضخامت اولیه (t_0) دارد با جدا کردن ماده در پیکسل واقع در موقعیت (x, y) منجر به ایجاد اختلاف فاز موردنظر می شود.

$$\Delta\phi(x, y) = (k_t - k_h)\Delta t(x, y) \quad (8)$$

$$t(x, y) = t_0 - \Delta t(x, y)$$

که در آن $\Delta\phi$ و Δt به ترتیب اختلاف فاز و اختلاف ارتفاع متناظر با آن در نقطه (x, y) است [۹]. به این ترتیب می توان با استفاده از ضریب عبور موج فشار منتشر شده توسط هولوگرام را اصلاح نمود. الگوریتم مورد استفاده برای استخراج هولوگرام موسوم طیف زاویه ای بازگشتی در شکل ۲ نشان داده شده



شکل ۱ اصول عملکرد هولوگرام صوتی.

۲-۱. روش استخراج ابر نقاط هولوگرام

در شکل ۱ شمایی از نحوه عملکرد سامانه هولوگرافیکی صوتی نشان داده شده است. به منظور طراحی هولوگرام از روش طیف زاویه ای بازگشتی^۱ استفاده می شود. این روش در طراحی هولوگرام های نوری رایج بوده ولی اخیراً در طراحی هولوگرام های صوتی نیز به شکل مؤثری مورد استفاده قرار گرفته است.

در این روش از موج فشار به صورت جمع امواج صفحه ای نمایش داده می شود و در سطح فرستنده می توان نوشت [۹]:

$$p_0(x, y, z=0) = |p_0| e^{j\Delta\phi(x, y, z)} = \sum_{k_x} \sum_{k_y} P(k_x, k_y, z=0) e^{j(k_x x + k_y y + k_z z)} \quad (1)$$

که در آن $|p_0|$ و $\Delta\phi$ به ترتیب دامنه و فاز نسبی فشار صوتی مختلط بوده و z یک موهومی است. که در آن $k^2 = k_x^2 + k_y^2 + k_z^2$ و $k = \frac{\omega}{c}$ عدد موج و c سرعت سیال در ناحیه سیال است. طیف زاویه ای موج فشار در $Z=0$ ثابت با $P_0(k_x, k_y, z=0)$ استفاده از تبدیل فوریه دو-بعدی به دست می آید:

$$P(k_x, k_y, 0) = \int_{-\infty}^{+\infty} \int_{-\infty}^{+\infty} p_0(x, y, 0) e^{-j(xk_x + yk_y)} dx dy \quad (2)$$

روش طیف زاویه ای با استفاده از اطلاعات طیف زاویه ای فشار در هر صفحه دلخواه موازی با صفحه هدف (به عنوان مثال صفحه در صفحه $Z=0$) طیف زاویه فشار را در صفحه هدف به دست می آورد که به آن انتشار به جلو گفته می شود:

$$P(k_x, k_y, z) = P(k_x, k_y, 0) H(k_x, k_y, z) \quad (3)$$

^۲ASA; Angular Spectrum Approach

^۱IASA; Iterative Angular Spectrum Approach

با توجه به اینکه در صفحه تصویر تمامی پیکسل‌های با فشار غیر صفر، دامنه فشار برابر دارند، نسبت مذکور برای صفحه هدف برابر یک است و رابطه معیار کیفیت بر این اساس بدست خواهد آمد.

$$E_{ij} = \left| 1 - \frac{P_{ij}}{\text{mean}(P_{ij})} \right| \quad (9)$$

$$e = \text{RMS}(E_{ij})$$

معیار رایج برای بررسی کیفیت تصویر فشار صوتی در صفحه هدف در سایر پژوهش‌ها، استفاده بازآفرینی تصویر^۱ است.

$$\eta = \frac{\sum_{i \in T} P_i}{\sum_{i \in I} P_i} \quad (10)$$

که در آن T پیکسل‌هایی هستند که مقدار فشار در آن‌ها غیر صفر بوده و I کل صفحه تصویر است.

به این منظور تصویر نیم‌رخ فشار صوتی مطابق شکل ۳ (الف) برای انجام بررسی‌های لازم در نظر گرفته شده است. علت استفاده از این شکل پیچیدگی نسبتاً مناسب (تصویر حرف B) از نظر تمرکز امواج است. نقشه ضخامت (توپوگرافی) هولوگرام و نیم‌رخ فشار نهایی برای بسامد ۲/۵ مگاهرتز و تصویر هدف در فاصله ۲۰ میلی‌متری از سطح هولوگرام به ترتیب در شکل‌های ۳ (ب) و ۳ (ج) آورده است.

۲-۲-۱. اثر خطای ناشی از ساخت با چاپ سه-بعدی

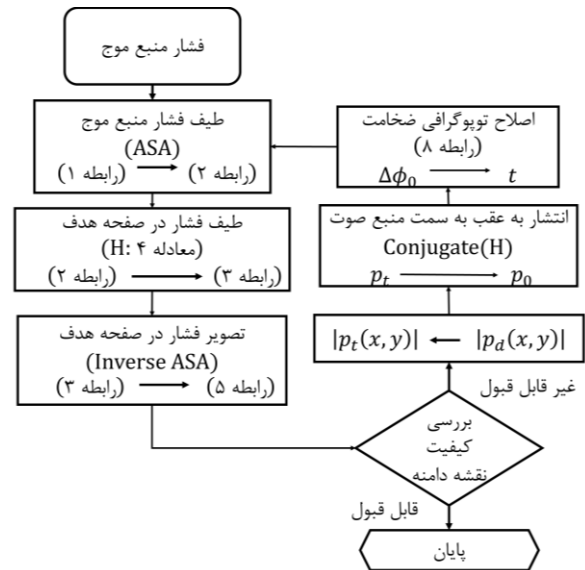
از آنجایی که این خطا ماهیت تصادفی دارد، این خطا در هر نقطه از صفحه هولوگرام به صورتی عددی تصادفی مابین مثبت و منفی دقت ساخت چاپ سه-بعدی خواهد بود. به منظور الگوسازی این خطا، ضربی از یک ماتریس از اعداد

تصادفی بین $-1 < R_{ij} < 1$ در مقادیر خطای ساخت، به نیم‌رخ ضخامت هولوگرام اضافه شد. و با استفاده از نیم‌رخ این هولوگرام برای صفحه تصویر در فاصله ۲۰ میلی‌متری از سطح هولوگرام طراحی شده است.

$$t_{ij}^e = t_{ij} + R_{ij} \quad (11)$$

که در آن t_{ij}^e نقشه ضخامت هولوگرام است که دارای خطای ساخت است. در نهایت کیفیت نیم‌رخ فشار صوتی بدست آمده از این نیم‌رخ ضخامت (رابطه ۹ و ۱۰) به ازای مقادیر مختلف خطا محاسبه شد.

است. اساس این الگوریتم به کارگیری تئوری طیف زاویه‌ای است.



شکل ۲ الگوریتم طیف زاویه‌ای بازگشتی.

در این الگوریتم در هر مرحله ابتدا کیفیت نیم‌رخ فشار صوتی در صفحه هدف (p_t) با نیم‌رخ مطلوب (p_a) مقایسه شده و در صورت قابل قبول نبودن نتیجه با حفظ نیم‌رخ فاز نیم‌رخ دامنه فشار صوتی در صفحه هدف $|p_t|$ با نیم‌رخ فشار مطلوب $|p_a|$ جایگزین می‌شود. این فرآیند تا رسیدن نیم‌رخ فشار صوتی به شکل مطلوب ادامه پیدا می‌کند.

۲-۲-۲. بررسی اثر خطاهای احتمالی بر کیفیت نیم‌رخ فشار صوتی

به منظور بررسی کیفیت نیم‌رخ فشار معیاری تعریف شد. در این معیار به این نکته توجه گردید که دامنه فشار در صفحه تصویر برای نقاطی که فشار آن‌ها غیر صفر است به یک فشار میانگین نزدیک است هر قدر فشار یک نقطه نسبت به میانگین متفاوت باشد نشان‌دهنده نایکخواختی در نیم‌رخ فشار پایین بودن کیفیت تصویر است به این ترتیب نسبت دامنه فشار در هر نقطه به میانگین فشار کل نقاط که مقدار آن‌ها مخالف صفر است، برای تصویر هدف و تصویری که از محاسبات به دست می‌آید، محاسبه گردید و تفاوت این دو مقدار به عنوان معیاری از کیفیت تصویر در نظر گرفته شد.

¹ Image Reconstruction Efficiency

تراگذار بسامد بالا ایجاد می‌شود. اثر این خطا در عدد موج محیط انتشار موج و ماده هولوگرام بروز کرده و موجب به وجود آمدن خطا در توزیع فاز جبهه موج ارسالی از هولوگرام می‌شود.

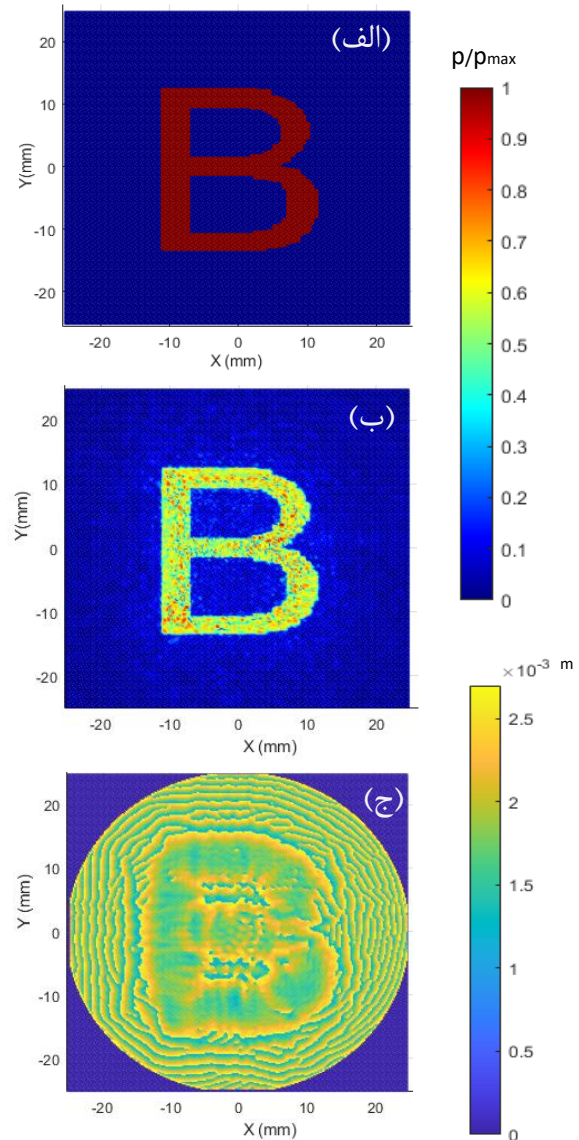
۳-۲. آزمایش تجربی

به منظور بررسی اثر تغییرات بسامد بر نیمرخ فشار صوتی یک آزمون تجربی در نظر گرفته شد. به این منظور ابتدا با استفاده از الگوریتم آی‌ای‌اس‌ای^۱ یک هولوگرام برای تشکیل تصویر حرف V در صفحه تصویر به فاصله ۱۵ میلی‌متر از صفحه هولوگرام طراحی شد.

بسامد طراحی برای این هولوگرام ۱۰۵۰ کیلوهرتز است. تصویر مرجع موردنظر به همراه تصویر ایجادشده توسط هولوگرام در صفحه هدف به روش تحلیلی به ترتیب در شکل ۴ (الف) و ۴ (ب) نشان داده شده است. هولوگرام با استفاده از روش پردازش نور دیجیتال^۲ با چاپگر سه-بعدی (۵۰ μm × ۷۰ μm × ۵۰ μm ANYCUBIC چاپ سه-بعدی می‌شود که در مقایسه با حداقل اندازه وکسل موردنظر (۰/۲۶۳ میلی‌متر) دقت قابل قبولی دارد.

ماده مورد استفاده برای طراحی و ساخت هولوگرام‌ها رزین فتورزیست^۳ است. خواص صوتی ماده پخت شده به‌طور تجربی با سرعت سنجی صوتی^۴ بر یک نمونه چاپ شده سه-بعدی با قطر و ارتفاع ۳۰ میلی‌متر و ۸۰ میلی‌متر ارزیابی شد. خواص مکانیکی و صوتی رزین چاپگر سه-بعدی و محیط انتشار (آب) در جدول ۱ ارائه شده است. در شکل ۵ مجموع آزمایش قابل مشاهده است.

صفحه تصویر هولوگرام ساخته شده برای نمایش نیمرخ فشار صفحه تصویر در سطح آب در نظر گرفته شد که در اثر ناحیه پرفشار صوتی دچار تغییر شکل شده و تصویر نیمرخ فشار صوتی را به صورت برجستگی در سطح آب نمایش دهد. مجموعه آزمایشی شامل یک مخزن آب شیشه‌ای است که با آب دیونیزه شده پر شده است. تراگذار شامل یک دیسک بی‌زدتی^۵ به قطر ۳۰ میلی‌متر و ضخامت ۲ میلی‌متر است و بر یک پستی آلومینیومی نصب شده است.



شکل ۳ (الف) نیمرخ فشار صوتی مرجع (ب) نیمرخ فشار محاسبه شده و (ج) ابر نقاط بدست آمده برای هولوگرام.

۲-۲-۲. اثر خطای بسامد اعمالی توسط منبع تغذیه

نوساناتی که ممکن است در بسامد کاری تنظیم شده بر منبع تغذیه راه‌انداز تراگذار صوتی ایجاد شود نیز می‌تواند منبع ایجاد خطا بوده و در کیفیت نیمرخ فشار نهایی تأثیرگذار باشد به این منظور در آزمایش‌های تجربی در هنگام تنظیم بسامد، بسامد خروجی آن‌ها دارای خطایی به صورت درصدی از بسامد خروجی است، در این تحلیل فرض شده است که بیشینه $\pm 10\%$ درصد بسامد تنظیم شده خطا در بسامد تولیدی مولد تحریک

⁴ Acoustic Velocimetry

⁵ PZT-4

¹ IASA

² Digital Light process (DLP)

³ ANYCUBIC GRAY

جدول ۱. خواص صوتی ماده هولوگرام و محیط انتشار صوت.

خواص	رزین چاپ سه- بعدی	محیط انتشار موج
چگالی	$1150 \frac{kg}{m^3}$	$998 \frac{kg}{m^3}$
مدول الاستیک	۱٫۲GPa	-
ضریب پوواسون	۰٫۳۴	-
سرعت صوت	$2354 \frac{m}{s}$	$1500 \frac{m}{s}$

قسمت پشتی تراگذار به هوا باز است و با استفاده از لاستیک سیلیکونی و درپوش پلی متیل متاکریلات^۱ آب‌بندی شده است. برای به دست آوردن دامنه موج مناسب، تراگذار در نزدیکی بسامدهای تشدید تحریک می‌شود.

تراگذار مستقیماً با استفاده از تقویت‌کننده آراف^۲ کلاس ایی^۳ هدایت می‌شود. گریس خلأ^۴ برای نصب هولوگرام‌های ساخته‌شده بر تراگذار به دلیل اتصال صوتی خوب و سادگی مونتاژ و جداسازی هولوگرام‌ها استفاده شد.

مجموعه تراگذار و هولوگرام در داخل مخزن آب غوطه‌ور می‌شود و فاصله صفحه هولوگرام از سطح آزاد آب تا فاصله صفحه هدف طراحی شده (z=15 میلی‌متر)، همان‌طور که در شکل ۵ نشان داده شده است، تنظیم می‌شود.

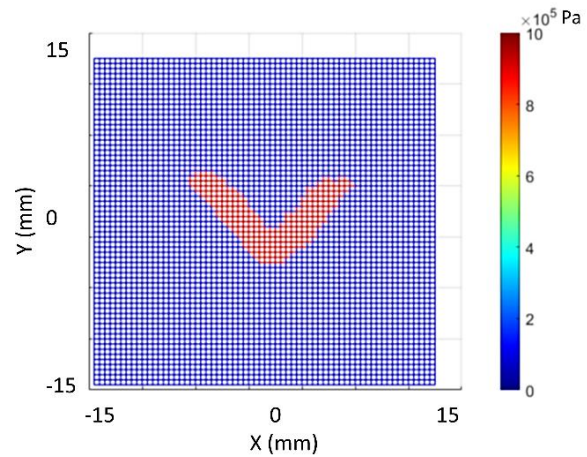
۳. نتایج

در شکل ۶ تغییرات کیفیت نیم‌رخ فشار برحسب خطاهای مختلف ساخت به ازای بسامدهای مختلف نشان داده شده است. محدوده خطای در نظر گرفته شده برای بررسی از ۰٫۱ تا ۰٫۲ میلی‌متر است که بیشینه خطای چاپگرهای سه-بعدی موجود است. این اثرات خود را در نیم‌رخ فاز موج ارسالی از صفحه هولوگرام بروز خواهند داد.

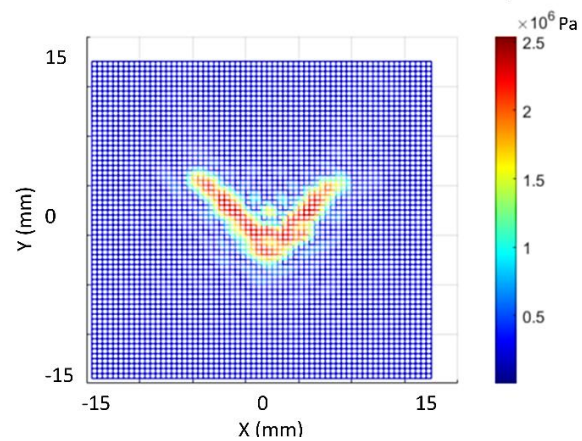
تغییرات کیفیت نیم‌رخ فشار نسبت به خطای بسامد به ازای بسامدهای مختلف در شکل ۷ نشان داده شده است. همان‌گونه قابل مشاهده است، محدوده تغییرات خطا در کیفیت نیم‌رخ فشار صوتی ناشی از هرکدام با یکدیگر متفاوت است.

در شکل‌های ۸ و ۹ نتایج بازده بازآفرینی تصویر فشار صوتی به ترتیب برای خطای ساخت و بسامد نشان داده شده است.

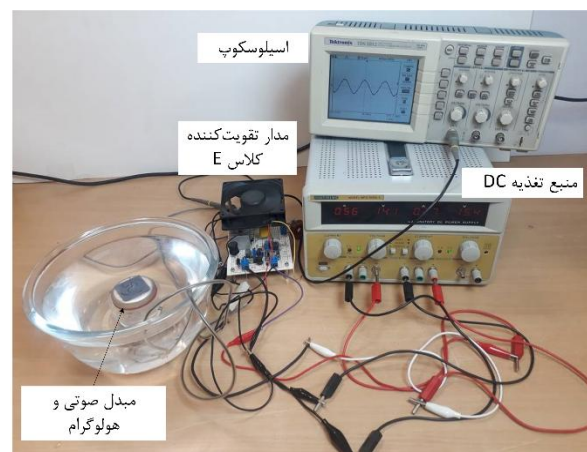
(الف)



(ب)



شکل ۴ (الف) نیم‌رخ فشار صوتی مرجع (ب) نیم‌رخ فشار محاسبه‌شده.



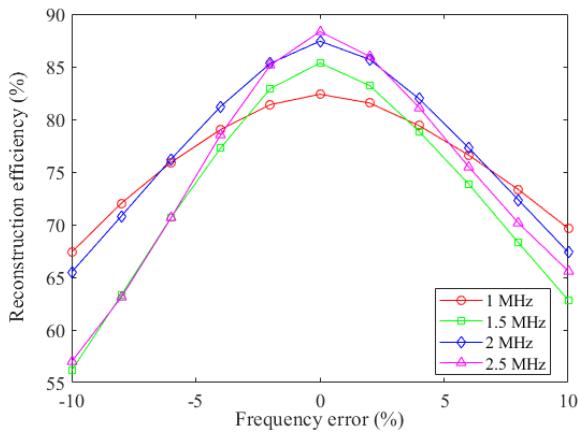
شکل ۵ مجموعه آزمایش.

³ E

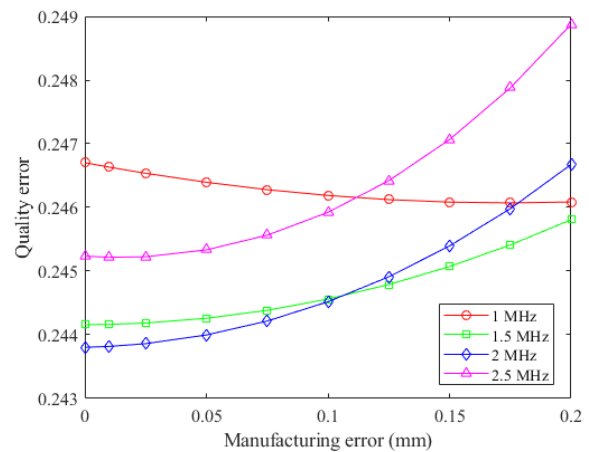
⁴ DUPONT™ Molykote

¹ PMMA

² RF



شکل ۹ اثر خطای بسامد تحریک بر بازده بازآفرینی تصویر فشار صوتی.



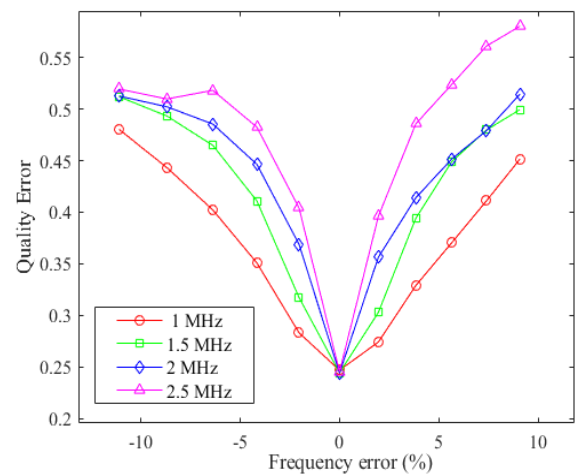
شکل ۶ اثر خطای ساخت ناشی از چاپگر سه-بعدي بر خطای کیفیت نیمرخ فشار صوتی.

تناظر نتایج این دو شکل با نتایج شکل‌های ۶ و ۷ قابل مشاهده است در مورد این معیار تاکنون مقادیر گزارش شده برای بسامدهای کاری مشابه بالای ۶۰ درصد است [۱۶] که در پژوهش حاضر نیز این مقدار در بسامدهای طراحی بررسی شده بالاتر از ۸۰ درصد است. با افزایش بسامد طراحی، به علت کوتاه شدن طول موج و ریز شدن پیکسل‌ها، بازده بازآفرینی تصویر افزایش می‌یابد.

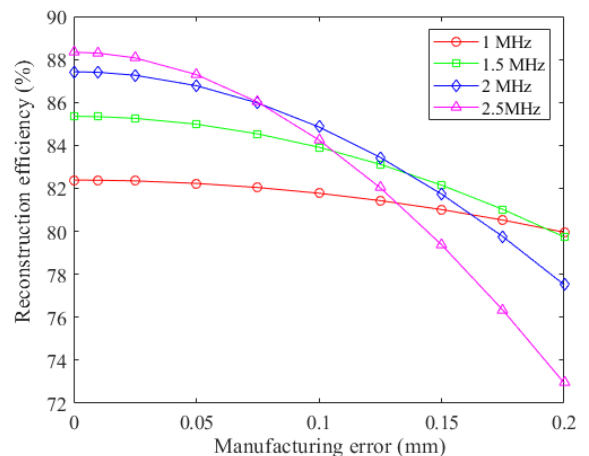
در شکل ۱۰ تغییرات تصویر نیمرخ فشار بر سطح آب نشان داده شده است. مشاهده می‌شود بافاصله گرفتن از بسامد طراحی بر آب نیز کاهش می‌یابد و ناپیوستگی‌هایی در تصویر نمایان می‌شود.

۴. بحث

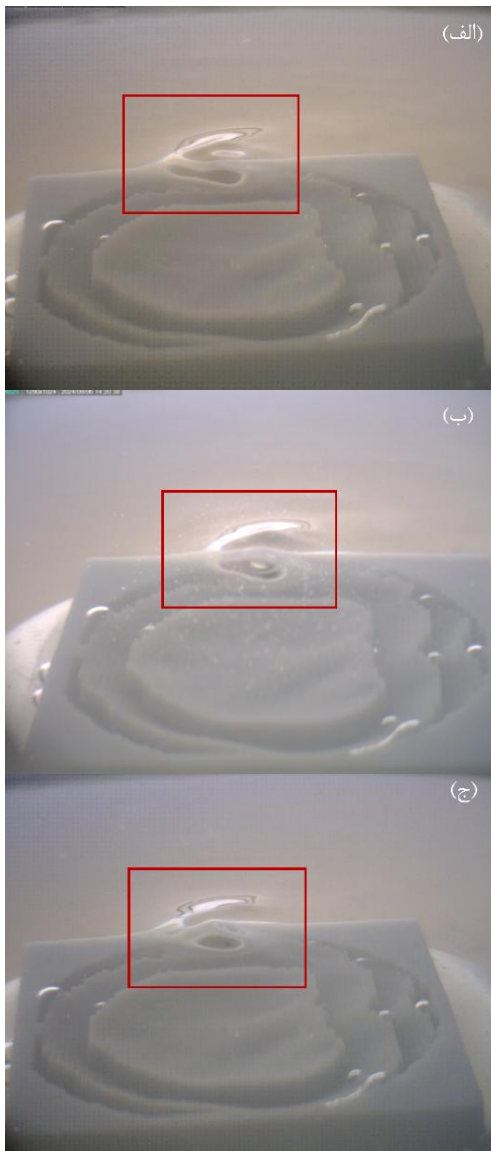
با توجه به نتایج حاصل شده از کیفیت فشار در اثر خطاهای ساخت، مشاهده می‌شود در بسامدهای پایین حساسیت کیفیت نیمرخ فشار صوتی به خطاهای ناشی از ساخت کم است. این در حالی است که در بسامدهای بالا با افزایش خطای ساخت، خطای کیفیت نیمرخ فشار صوتی افزایش پیدا می‌کند. این موضوع با شیب کم نمودارهای مربوطه به بسامدهای کاری پایین‌تر قابل مشاهده است. بیش‌ترین خطای ایجاد شده برای همین استدلال در مورد بازده بازآفرینی تصویر قابل ذکر است. در این نمودار مشاهده می‌شود، بیشینه تغییرات بازده بازآفرینی تصویر برای بسامد ۱ و ۱/۵ مگاهرتز به ترتیب ۲ درصد و ۵/۶۲ درصد است در حالی که برای بسامدهای ۲ و ۲/۵ مگاهرتز این مقدار ۹/۹ درصد و ۱۵/۳۹ درصد است. باین حال،



شکل ۱۷ اثر خطای بسامد تحریک بر خطای کیفیت نیمرخ فشار صوتی.



شکل ۸ اثر خطای ساخت ناشی از چاپگر سه-بعدي بر بازده بازآفرینی تصویر فشار صوتی.



شکل ۱۰ تصویر فشار صوتی بر آب (الف) بسامد ۱۰۴۵ کیلوهرتز، (ب) ۱۰۰۵ کیلوهرتز و (ج) ۱۰۹۵ کیلوهرتز.

طراحی نشان داد. در پژوهش‌های آتی بررسی خطاهای دیگر از جمله اثر خطا در فاصله صفحه تصویر و موازی نبود صفحه تصویر و صفحه هولوگرام مدنظر است.

تقدیر و تشکر

نویسندگان این مقاله از جناب آقای مهندس حسین میرنژاد به منظور بازطراحی مدار الکترونیکی برای راه‌اندازی تراگذار صوتی، تقدیر و سپاسگزاری به عمل می‌آورند.

تضاد منافع

مقاله ارائه‌شده فاقد هرگونه تضاد منافع است.

در محدوده بسامدهای مورد بررسی این تغییرات قابل قبول بوده و دقت چاپگرهای موجود برای ساخت هولوگرام مناسب می‌باشند.

در مورد کیفیت نیم‌رخ فشار تحت تأثیر خطای ناشی از مولد توان برای تحریک تراگذار مشاهده می‌شود در بسامدهای بالا این خطا قابل توجه است و با افزایش بسامد اثر این خطا بر کیفیت افزایش می‌یابد این بیشینه تغییرات برای بسامد ۱ مگاهرتز در حدود ۲۳ درصد و برای بسامد ۲٫۵ مگاهرتز در حدود ۳۳ درصد است. همین نتیجه را می‌توان از نتایج بازده بازآفرینی تصویر بدست آورد. به گونه‌ای که بیشینه کاهش بازدهی برای بسامد ۱ مگاهرتز در حدود ۱۵٫۰۱ درصد و بسامد ۲٫۵ مگاهرتز ۳۱٫۳۵ درصد است.

از طرفی می‌توان دریافت تأثیر خطای بسامد بسیار بیش‌تر از خطای ساخت است (این مقدار برای دقت ساخت در حدود ۰٫۰۲ درصد و برای بسامد ۳۰ درصد است). بنابراین انتخاب تجهیز با دقت بسامد بالا در اولویت بیش‌تری نسبت به انتخاب چاپگر دقیق است.

طبق مشاهدات تجربی که با اعمال خطای ۴- درصد و ۵+ درصد به بسامد تحریک ۱۰۴۵ کیلوهرتزی تصویر برجستگی آب که متناظر با فشار صوتی در آن ناحیه است نسبت به تحریک با بسامد طراحی دارای نایکنواختی‌هایی می‌باشد که علت آن را می‌توان در تغییر در الگوی تداخل امواج در صفحه تصویر نسبت داد که در اثر تغییر الگوی اختلاف فاز تولیدی توسط هولوگرام ایجاد می‌شود.

۵. نتیجه‌گیری

در این مقاله دو مورد از خطاهای احتمالی که ممکن است کیفیت نیم‌رخ فشار صوتی ایجادشده توسط هولوگرام صوتی پیوسته را تحت تأثیر قرار دهد مورد بررسی قرار گرفتند. این خطاها عبارت‌اند از خطای ناشی از چاپگر سه-بعدی و خطای بسامد تولیدی توسط مولد بسامد بالا. برای هر کدام از این خطا یک الگو ریاضی در نظر گرفته شد.

خطاهای ناشی از تغییرات بسامد دارای مقادیر بیش‌تری هستند. در مورد خطاهای ساخت با توجه به دقت چاپگرهای موجود این مقدار در حدود ۰٫۰۱ است. از طرفی حساسیت به هر دو این خطاها در بسامدهای بالا بیش‌تر است. نتایج تجربی نیز افت کیفیت نیم‌رخ فشار را با تغییر بسامد نسبت به بسامد

مراجع

- Physics Letters, vol. 111, no. 24, pp. 244101, 2017.
- [12] M. Brown, B. Cox, B. Treeby, "Investigating the effect of thickness and frequency spacing on multi-frequency acoustic kinoforms", IEEE International Ultrasonics Symposium, pp. 1-4, 2017.
- [13] L. Cox, K. Melde, A. Croxford, P. Fischer, B. Drinkwater, "Acoustic hologram enhanced phased arrays for ultrasonic particle manipulation", Physical Review Applied, vol. 12, no. 6, pp. 064055, 2019.
- [14] M. Ferri, J. Bravo, J. Redondo, S. Jiménez-Gambín, N. Jiménez, F. Camarena, J. Sánchez-Pérez, "On the evaluation of the suitability of the materials used to 3D print holographic acoustic lenses to correct transcranial focused ultrasound aberrations", Polymers, vol. 11, no. 9, pp. 1521, 2019.
- [15] M. Ferri, J. Bravo, J. Redondo, J. Sánchez-Pérez, "Enhanced numerical method for the design of 3D-printed holographic acoustic lenses for aberration correction of single-element transcranial focused ultrasound", Ultrasound in Medicine & Biology, vol. 45, no. 3, pp. 867-884, 2019.
- [16] Z. Li, Y. Yang, Q. Lu, X. Wei, C. Hou, Y. Quan, X. Lü, W. Bao, Y. Yang, C. Fei, "Dynamic Acoustic Holography: One-Shot High-Precision and High-Information Methodology", Micromachines, vol. 15, no. 11, pp. 1316, 2024.
- [1] M. Xu, C. Vidler, J. Wang, X. Chen, Z. Pan, W. S. Harley, P. Lee, D. Collins, "Micro-Acoustic Holograms for Detachable Microfluidic Devices", Small, vol. 2024, pp. 2307529, 2024.
- [2] K. Uchida, S. Nagaii, H. Kashiwaya, M. Arii, "Availability study of a phased array ultrasonic technique", Nuclear Engineering and Design, vol. 81, no. 2, pp. 309-314, 1984.
- [3] A. Marzo, B. Drinkwater, "Holographic acoustic tweezers", Proceedings of the National Academy of Sciences, vol. 116, no. 1, pp. 84-89, 2019.
- [4] A. Marzo, S. Seah, B. Drinkwater, D. Sahoo, B. Long, S. Subramanian, "Holographic acoustic elements for manipulation of levitated objects", Nature Communications, vol. 6, no. 1, pp. 1-7, 2015.
- [5] Y. Tian, Q. Wei, Y. Cheng, X. Liu, "Acoustic holography based on composite metasurface with decoupled modulation of phase and amplitude", Applied Physics Letters, vol. 110, no. 19, pp. 191901, 2017.
- [6] Y. Xie, C. Shen, W. Wang, J. Li, D. Suo, B. Popa, Y. Jing, S. Cummer, "Acoustic holographic rendering with two-dimensional metamaterial-based passive phased array", Scientific Reports, vol. 6, no. 1, pp. 1-6, 2016.
- [7] Z. Ma, K. Melde, A. Athanassiadis, M. Schau, H. Richter, T. Qiu, P. Fischer, "Spatial ultrasound modulation by digitally controlling microbubble arrays", Nature Communications, vol. 11, no. 1, pp. 1-7, 2020.
- [8] M. Xu, J. Wang, W. Harley, P. Lee, D. Collins, "Programmable Acoustic Holography using Medium-Sound-Speed Modulation", Advanced Science, vol. 10, no. 23, p. 2301489, 2023.
- [9] K. Melde, A. Mark, T. Qiu, P. Fischer, "Holograms for acoustics", Nature, vol. 537, no. 7621, pp. 518-522, 2016.
- [10] M. Bakhtiari-Nejad, A. Elnahas, M. Hajj, S. Shahab, "Acoustic holograms in contactless ultrasonic power transfer systems: Modeling and experiment", Journal of Applied Physics, vol. 124, no. 24, pp. 244901, 2018.
- [11] M. Brown, B. Cox, B. Treeby, "Design of multi-frequency acoustic kinoforms", Applied